

流感

监测周报

9 / 2026 年

2026年第9周 总第898期

(2026年2月23日-2026年3月1日)

Influenza
Weekly
Report



中国疾病预防控制中心
病毒病预防控制所



目 录

CONTENTS

| | |
|----|-------------------|
| 01 | 摘要 |
| 03 | 一、流感样病例报告 |
| 05 | 二、病原学监测 |
| 08 | 三、暴发疫情 |
| 10 | 四、人感染动物源性流感病毒疫情 |
| 10 | 五、动物禽流感疫情 |
| 12 | 六、其他国家 / 地区流感监测情况 |





中国流感流行情况概要（截至 2026 年 3 月 1 日）

· 监测数据显示，本周南、北方省份流感病毒检测阳性率下降趋缓，B 型流感占比上升。全国未报告流感样病例暴发疫情。

· 国家流感中心对 2025 年 10 月 1 日 - 2026 年 3 月 1 日（以实验日期统计）期间收检的部分流感病毒毒株进行抗原性分析，结果显示：在 A(H1N1)pdm09 亚型流感病毒毒株中有 93.8%（91/97）为 A/Victoria/4897/2022 的类似株；在 A(H3N2) 亚型流感病毒毒株中有 23.2%（537/2315）为 A/Croatia/10136RV/2023（鸡胚株）的类似株，42.2%（976/2315）为 A/District of Columbia/27/2023（细胞株）的类似株；在 B(Victoria) 系流感病毒毒株中有 97.0%（224/231）为 B/Austria/1359417/2021 的类似株。

· 国家流感中心对 2025 年 10 月 1 日以来收检的部分流感病毒毒株进行耐药性分析，结果显示：在 A(H1N1)pdm09 亚型流感病毒毒株中有 1.8%（2/113）对神经氨酸酶抑制剂敏感性降低或高度降低，其余 A(H1N1)pdm09 亚型流感病毒毒株均对神经氨酸酶抑制剂敏感；在 A(H3N2) 亚型流感病毒毒株中有 0.1%（2/1974）对神经氨酸酶抑制剂敏感性降低或高度降低，其余 A(H3N2) 亚型流感病毒毒株均对神经氨酸酶抑制剂敏感；所有 B 型流感病毒毒株均对神经氨酸酶抑制剂敏感；所有 A(H1N1)pdm09、A(H3N2) 亚型和 B 型流感病毒毒株均对聚合酶抑制剂敏感。

摘要

一、流感样病例报告

2026 年第 9 周（2026 年 2 月 23 日 - 2026 年 3 月 1 日），南方省份哨点医院报告的 ILI% 为 3.0%，低于前一周水平（4.8%），低于 2023 年、2024 年和 2025 年同期水平（7.5%、5.6% 和 4.3%）。

2026 年第 9 周，北方省份哨点医院报告的 ILI% 为 3.0%，低于前一周水平（4.9%），低于 2023 年、2024 年和 2025 年同期水平（7.6%、3.8% 和 3.1%）。

二、病原学监测

2026 年第 9 周，全国（未含港澳台地区，下同）流感监测网络实验室共检测流感样病例监测标本 19826 份。南方省份检测到 1036 份流感病毒阳性标本，其中 6 份为 A(H1N1)pdm09，554 份为 A(H3N2)，476 份为 B(Victoria)。北方省份检测到 813 份流感病毒阳性标本，其中 3 份为 A(H1N1)pdm09，337 份为 A(H3N2)，473 份为 B(Victoria)。南、北方省份检测到的流感各型别及亚型的数量和所占比例具体



见表 1。

表 1 流感样病例监测实验室检测结果

| | 第 9 周 | | |
|---------------|-------------|-------------|-------------|
| | 南方省份 | 北方省份 | 合计 |
| 检测数 | 10242 | 9584 | 19826 |
| 阳性数(%) | 1036(10.1%) | 813(8.5%) | 1849(9.3%) |
| A 型 | 560(54.1%) | 340(41.8%) | 900(48.7%) |
| A(H1N1)pdm09 | 6(1.1%) | 3(0.9%) | 9(1.0%) |
| A(H3N2) | 554(98.9%) | 337(99.1%) | 891(99.0%) |
| A(unsubtyped) | 0 | 0 | 0 |
| B 型 | 476(45.9%) | 473(58.2%) | 949(51.3%) |
| B 未分系 | 0 | 0 | 0 |
| Victoria | 476(100.0%) | 473(100.0%) | 949(100.0%) |
| Yamagata | 0 | 0 | 0 |

2026 年第 9 周, 国家流感中心对 97 株 A(H3N2)亚型流感毒株进行抗原性分析, 其中 14 株 (14.4%) 为 A/Croatia/10136RV/2023 (鸡胚株) 的类似株, 83 株 (85.6%) 为 A/Croatia/10136RV/2023 (鸡胚株) 的低反应株; 其中 23 株 (23.7%) 为 A/District of Columbia/27/2023 (细胞株) 的类似株, 74 株 (76.3%) 为 A/District of Columbia/27/2023 (细胞株) 的低反应株。

2026 年第 9 周, 国家流感中心对 53 株 A(H1N1)pdm09 亚型、1057 株 A(H3N2)亚型和 114 株 B(Victoria)系流感毒株进行聚合酶抑制剂耐药性分析, 均对聚合酶抑制剂敏感。

三、暴发疫情

2026 年第 9 周, 全国未报告流感样病例暴发疫情。



流感样病例报告

（一）南方省份流感样病例占门急诊病例总数百分比。

2026 年第 9 周（2026 年 2 月 23 日 - 2026 年 3 月 1 日），南方省份哨点医院报告的 ILI% 为 3.0%，低于前一周水平（4.8%），低于 2023 年、2024 年和 2025 年同期水平（7.5%、5.6% 和 4.3%）。（图 1）

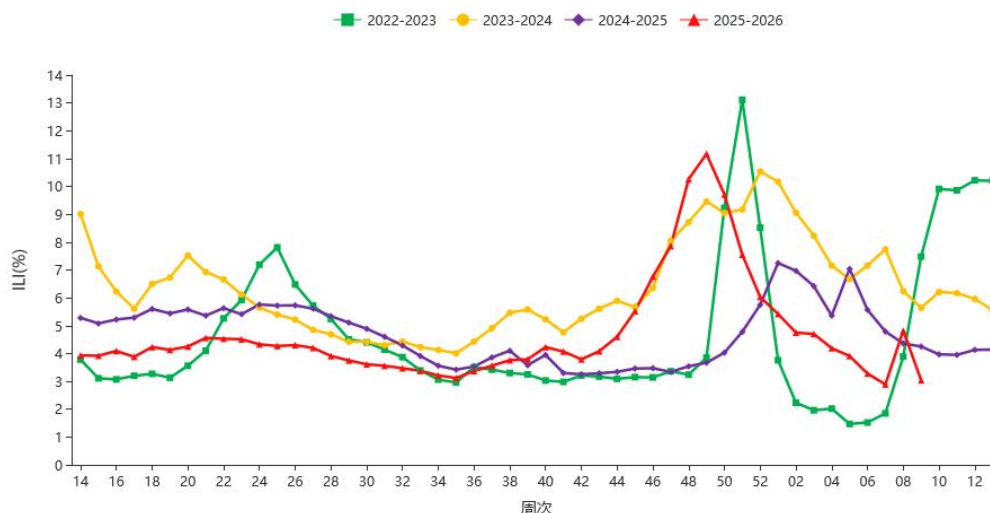


图 1 2022 - 2026 年度南方省份哨点医院报告的流感样病例%

注：数据来源于国家级哨点医院。

（二）北方省份流感样病例占门急诊病例总数百分比。

2026 年第 9 周，北方省份哨点医院报告的 ILI% 为 3.0%，低于前一周水平（4.9%），低于 2023 年、2024 年和 2025 年同期水平（7.6%、3.8% 和 3.1%）。（图 2）

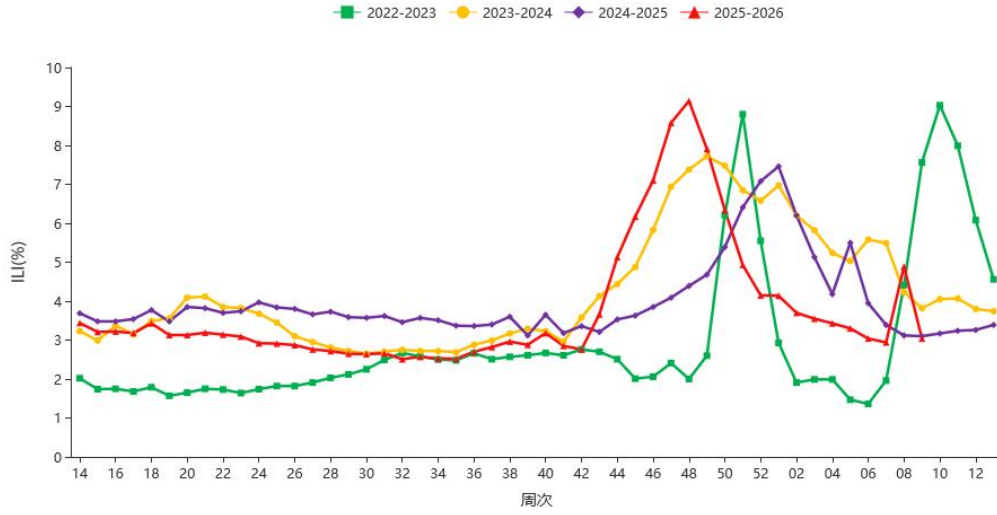


图 2 2022 – 2026 年度北方省份哨点医院报告的流感样病例%

注：数据来源于国家级哨点医院。





病原学监测

(一) 流感样病例监测

1. 南方省份。

2026 年第 9 周，方省份检测到 1036 份流感病毒阳性标本，其中 6 份为 A(H1N1)pdm09，554 份为 A(H3N2)，476 份为 B(Victoria)。各型别具体数据见表 1 和图 3。

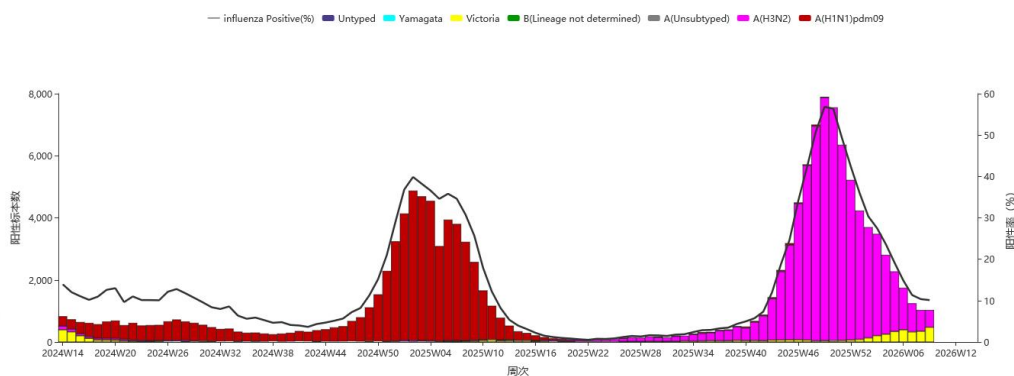


图 3 南方省份 ILI 标本检测结果

注：数据来源于网络实验室检测结果，网络实验室结果和 CNIC 结果不一致的以 CNIC 复核结果为准。

2. 北方省份。

2026 年第 9 周，北方省份检测到 813 份流感病毒阳性标本，其中 3 份为 A(H1N1)pdm09，337 份为 A(H3N2)，473 份为 B(Victoria)。各型别具体数据见表 1 和图 4。

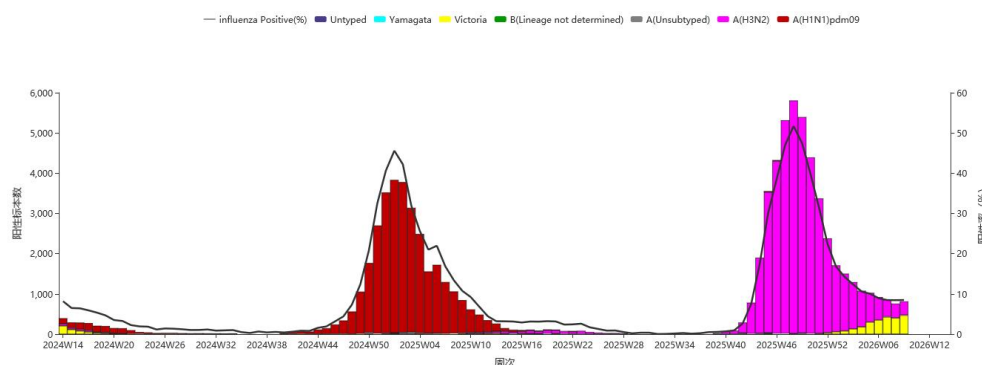


图 4 北方省份 ILI 标本检测结果

注：数据来源于网络实验室检测结果，网络实验室结果和 CNIC 结果不一致的以 CNIC 复核结果为准。

(二) ILI 暴发疫情实验室检测结果

1. 南方省份。

2026 年第 9 周，南方省份网络实验室未收检到流感样病例暴发疫情标本。(图 5)

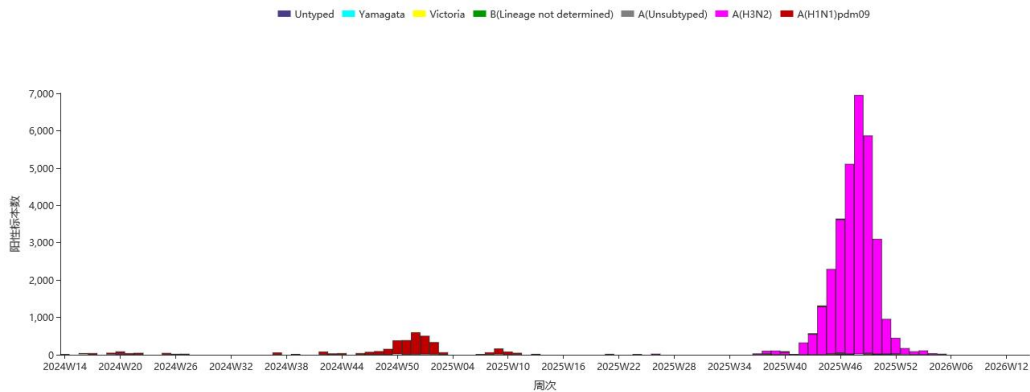


图 5 南方省份 ILI 暴发疫情标本检测结果

注：数据来源于网络实验室检测结果，网络实验室结果和 CNIC 结果不一致的以 CNIC 复核结果为准。

2. 北方省份。

2026 年第 9 周，北方省份网络实验室未收检到流感样病例暴发疫情标本。(图 6)

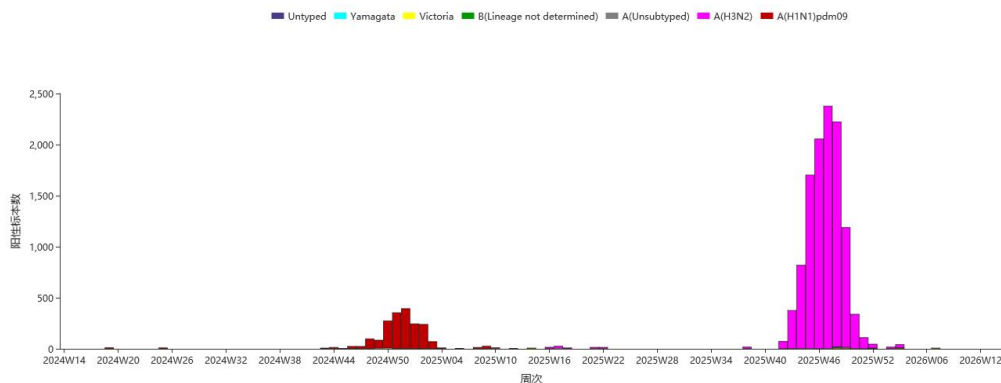


图 6 北方省份 ILI 暴发疫情标本检测结果

注：数据来源于网络实验室检测结果，网络实验室结果和 CNIC 结果不一致的以 CNIC 复核结果为准。

(三) 抗原性分析

2026 年第 9 周，国家流感中心对 97 株 A(H3N2) 亚型流感毒株进行抗原性分析，其中 14 株 (14.4%) 为 A/Croatia/10136RV/2023 (鸡胚株) 的类似株，83 株 (85.6%) 为 A/Croatia/10136RV/2023 (鸡胚株) 的低反应株；其中 23 株 (23.7%) 为 A/District of Columbia/27/2023 (细胞株) 的类似株，74 株 (76.3%) 为 A/District of Columbia/27/2023 (细胞株) 的低反应株。

2025 年 10 月 1 日 - 2026 年 3 月 1 日 (以实验日期统计)，CNIC 对 97 株 A(H1N1)pdm09 亚型流感毒株进行抗原性分析，其中 91 株 (93.8%) 为 A/Victoria/4897/2022 的类似株，6 株 (6.2%) 为

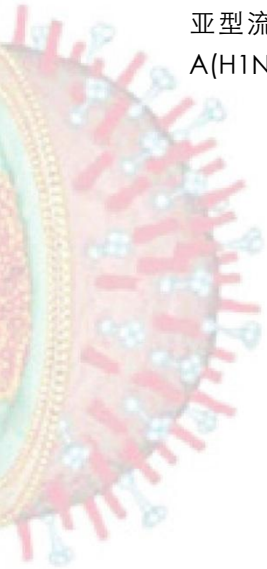


A/Victoria/4897/2022 的低反应株。对 2315 株 A(H3N2)亚型流感毒株进行抗原性分析，其中 537 株（23.2%）为 A/Croatia/10136RV/2023（鸡胚株）的类似株，1778 株（76.8%）为 A/Croatia/10136RV/2023（鸡胚株）的低反应株；其中 976 株（42.2%）为 A/District of Columbia/27/2023（细胞株）的类似株，1339 株（57.8%）为 A/District of Columbia/27/2023（细胞株）的低反应株。对 231 株 B(Victoria)系流感毒株进行抗原性分析，其中 224 株（97.0%）为 B/Austria/1359417/2021 的类似株，7 株（3.0%）为 B/Austria/1359417/2021 的低反应株。

（四）耐药性分析

2026 年第 9 周，国家流感中心对 53 株 A(H1N1)pdm09 亚型、1057 株 A(H3N2)亚型和 114 株 B(Victoria)系流感毒株进行聚合酶抑制剂耐药性分析，均对聚合酶抑制剂敏感。

2025 年 10 月 1 日 - 2026 年 3 月 1 日，CNIC 耐药监测数据显示，除 2 株 A(H1N1)pdm09 和 2 株 A(H3N2)亚型流感毒株对神经氨酸酶抑制剂敏感性降低或高度降低外，其余 A(H1N1)pdm09 和 A(H3N2)亚型流感毒株均对神经氨酸酶抑制剂敏感；所有 B 型流感毒株均对神经氨酸酶抑制剂敏感。所有 A(H1N1)pdm09、A(H3N2)亚型和 B 型流感毒株均对聚合酶抑制剂敏感。



暴发疫情

流感样病例暴发疫情定义：一周内，同一地区或单位内出现 10 例及以上流感样病例，经县（区）级疾病预防控制机构核实确认，并通过“中国流感监测信息系统”报告的疫情事件定义为 1 起流感样病例暴发疫情。

（一）本周新增报告的暴发疫情概况。

2026 年第 9 周，全国未报告流感样病例暴发疫情。

（二）暴发疫情概况。

2025 年第 14 周-2026 年第 9 周（2025 年 3 月 31 日-2026 年 3 月 1 日），全国报告流感样病例暴发疫情（10 例及以上）6831 起，经实验室检测，6132 起为 A(H3N2)，18 起为 A(H1N1)pdm09，96 起为 A 型（亚型未显示），11 起为 B(Victoria)，83 起为混合型，297 起为流感阴性，194 起暂未获得病原检测结果。

1. 时间分布。

2025 年第 14 周-2026 年第 9 周，南方省份共报告 4606 起 ILI 暴发疫情，高于 2025 年同期报告疫情起数（604 起）。(图 7)

2025 年第 14 周-2026 年第 9 周，北方省份共报告 2225 起 ILI 暴发疫情，高于 2025 年同期报告疫情起数（430 起）。(图 8)

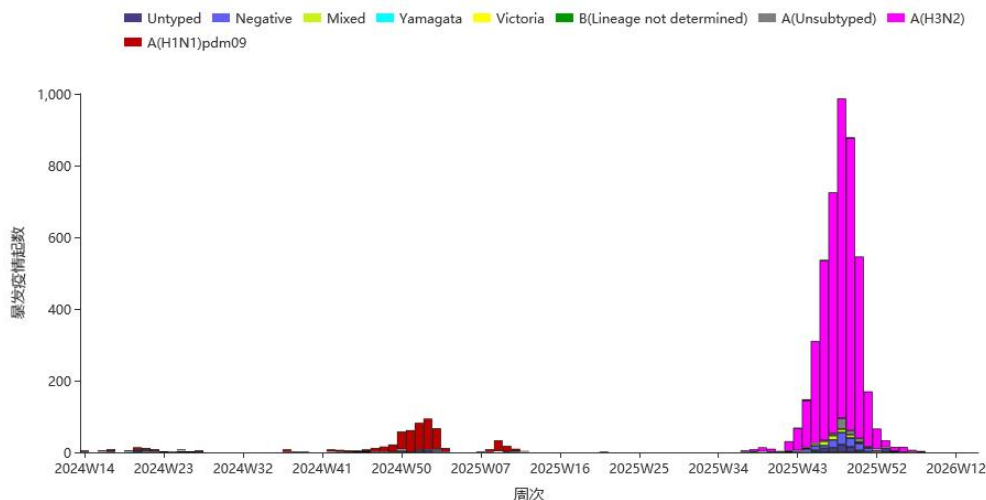


图 7 南方省份报告 ILI 暴发疫情周分布
(按疫情时间统计)

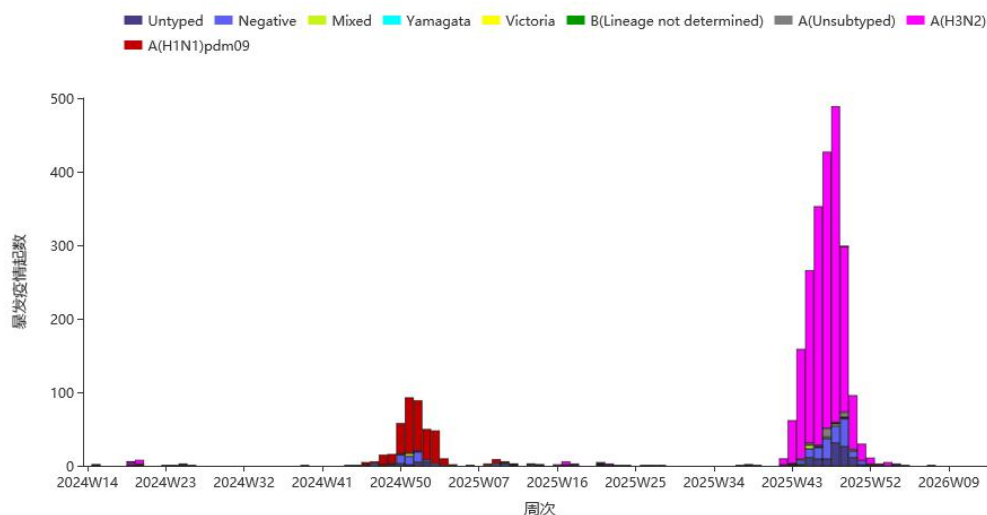


图 8 北方省份报告 IILI 暴发疫情周分布
(按疫情报告时间统计)

2. 地区分布。

2025 年第 14 周-2026 年第 9 周，全国共报告 IILI 暴发疫情 6831 起，分布在 7 个地区（表 2）。

表 2 2025 年第 14 周-2026 年第 9 周各地区报告暴发疫情起数

| 地区 | 暴发疫情起数（起） | 地区 | 暴发疫情起数（起） |
|------|-----------|------|-----------|
| 西南地区 | 2941 | 华北地区 | 539 |
| 东北地区 | 492 | 华南地区 | 337 |
| 华东地区 | 1721 | 华中地区 | 267 |
| 西北地区 | 534 | | |

注：暴发疫情报告受各地监测能力及监测敏感度等因素影响。各地区省市如下：

- 东北地区：黑龙江，吉林，辽宁；
- 华北地区：北京，河北，内蒙古，山西，天津；
- 华东地区：安徽，福建，江苏，江西，山东，上海，浙江；
- 华南地区：广东，广西，海南；
- 华中地区：河南，湖北，湖南；
- 西北地区：甘肃，建设兵团，宁夏，青海，陕西，新疆；
- 西南地区：贵州，四川，西藏，云南，重庆。

人感染新亚型流感疫情

“国家级多生态位流感病毒时空预警平台”预警预测结果显示，我国目前人感染新亚型流感病毒处于低风险水平。其中 H9N2 亚型的 A/Suzhou/1209KS/2025 类似毒株为重点关注病毒。

本周，WHO 未通报人感染新亚型流感疫情。

(译自：<https://www.who.int/teams/global-influenza-programme/avian-influenza/monthly-risk-assessment-summary>)

说明：根据 2025 年修订通过的《中华人民共和国传染病防治法》，本章节更名为“人感染新亚型流感疫情”。



动物禽流感疫情

2026 年 2 月 22-28 日，世界动物卫生组织共通报 69 起高致病性禽流感动物疫情事件。

表 3 全球动物感染高致病性禽流感疫情事件

| 国家/地区 | 禽流感亚型 | | | | | 合计 |
|-------|-------|------|----------|------|----|----|
| | H5N1 | H5N5 | H5(N 待定) | H7N3 | 待定 | |
| 阿根廷 | | | | | 2 | 2 |
| 奥地利 | 2 | | | | | 2 |
| 比利时 | 2 | | 1 | | | 3 |
| 波黑 | | | | | 1 | 1 |



| | | | | | | |
|-----------|-----------|----------|----------|----------|----------|-----------|
| 保加利亚 | 1 | | | | | 1 |
| 中国台湾 | 2 | | | | | 2 |
| 捷克 | 1 | | | | | 1 |
| 丹麦 | 1 | | | | | 1 |
| 爱沙尼亚 | 1 | | | | | 1 |
| 法国 | 2 | | | | | 2 |
| 德国 | 15 | | | | | 15 |
| 以色列 | 1 | | | | | 1 |
| 意大利 | 1 | | | | | 1 |
| 日本 | 1 | | | | | 1 |
| 拉脱维亚 | 1 | | | | | 1 |
| 卢森堡 | 1 | | | | | 1 |
| 墨西哥 | | | | 1 | | 1 |
| 荷兰 | 2 | | | | | 2 |
| 波兰 | 15 | | | | | 15 |
| 罗马尼亚 | 1 | | | | | 1 |
| 斯洛文尼亚 | 1 | | | | | 1 |
| 瑞典 | 1 | | | | | 1 |
| 瑞士 | 1 | | | | | 1 |
| 乌克兰 | 1 | | | | | 1 |
| 英国 | 5 | 1 | | | | 6 |
| 美国 | 2 | | | | | 2 |
| 乌拉圭 | | | | | 1 | 1 |
| 越南 | 1 | | | | | 1 |
| 合计 | 62 | 1 | 1 | 1 | 4 | 69 |

(源自: <https://wahis.woah.org/#/event-management>)

其他国家/地区 流感监测情况

全球（第 7 周，数据截至 2026 年 2 月 15 日）

第 7 周，全球范围内流感检出量持续下降。A 型占主导，B 型检出占比有轻微上升。

北半球，北美、西非、西亚、南亚和东南亚的部分国家的流感检测阳性率处于较高水平 (>10%)。中美洲和加勒比地区、热带南美、欧洲以及东亚流感检测阳性率超过 30%。其中，中美洲和加勒比地区、欧洲的西南和东部、西亚和东亚的个别国家报告流感活动上升。

南半球，流感活动水平总体处于低位，但温带南美洲的两个国家、热带南美和东非的单个国家报告流感病毒阳性率较高 (> 10%)；大洋洲的单个国家的检测阳性率超 30%。南半球无任何国家报告流感活动上升。

在病毒阳性率升高的区域中，A(H3N2)为优势毒株；西非报告 A 型和 B 型流感，东南亚 A(H3N2)和 B 型居多。

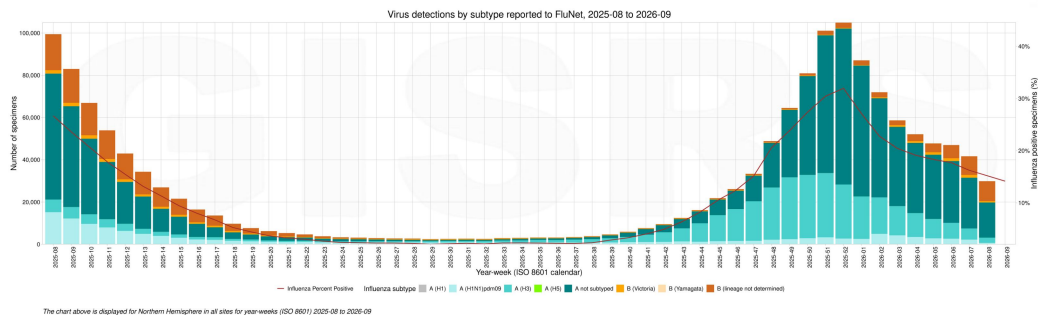


图 9 北半球流感病毒流行情况

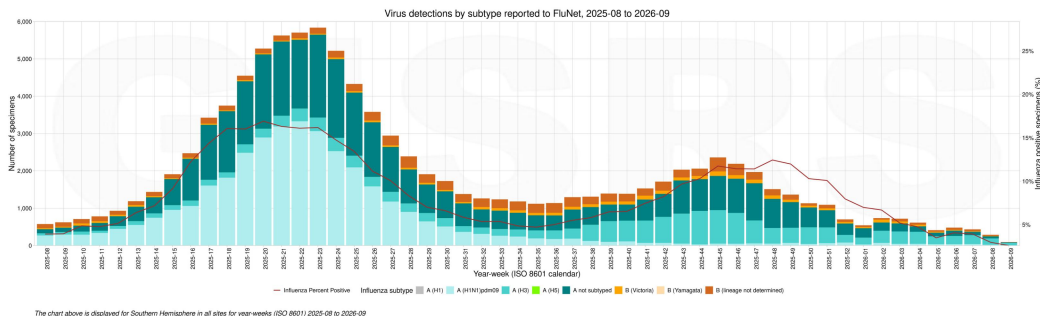


图 10 南半球流感病毒流行情况

(译自：

<https://www.who.int/teams/global-influenza-programme/surveillance-and-monitoring/influenza-updates>)



美国（第 7 周，数据截至 2026 年 2 月 21 日）

第 7 周，美国全境季节性流感活动仍高于基线。

本周通过 ILINet 报告的就诊患者中有 4.4% 为流感样病例患者（即由于呼吸道疾病引起的，包括发烧伴咳嗽或咽痛，也称为 ILI），高于基线水平（3.1%）。诸多呼吸道病毒共同流行，流感病毒感染对 ILI 的影响可能因地点而异。

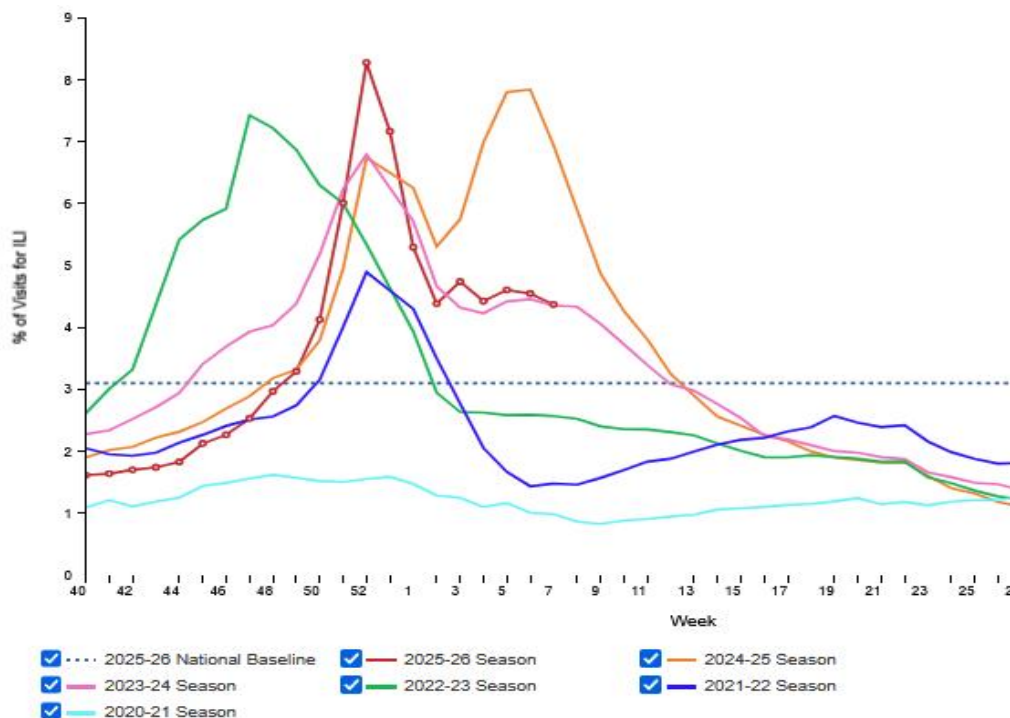


图 11 美国 ILI 监测周分布

本周临床实验室共检测样本 85506 份，检出 15316 份（17.9%）流感病毒阳性：其中 A 型 6874 份（44.9%），B 型 8442 份（55.1%）。

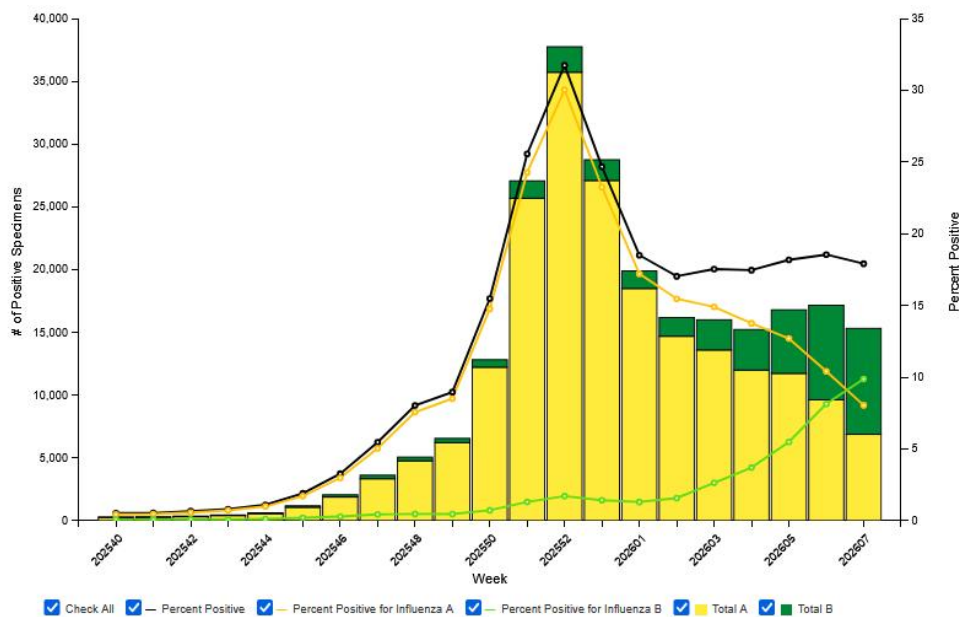


图 12 美国临床实验室流感病原监测周分布

本周美国公共卫生实验室共检测样本 1494 份，检出 1019 份流感阳性样本，其中 725 份 (71.1%) 为 A 型, 294 份 (28.9%) 为 B 型。在 569 份 (78.5%) 已分型的 A 型样本中, 96 份 (16.9%) 为 A(H1N1)pdm09 亚型, 473 份 (83.1%) 为 A(H3N2) 亚型, 156 份 (21.5%) 为 A 型 (分型未显示)。102 份 (34.7%) B 型已分系样本为 B(Victoria), 另 192 份为 B 型 (分系未显示)。

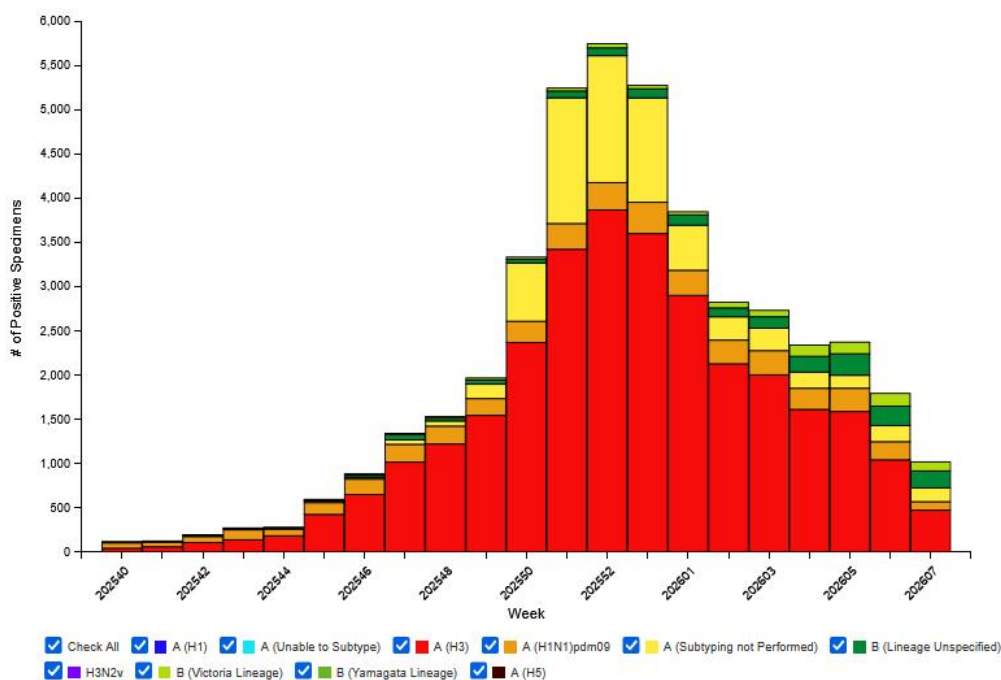


图 13 美国公共卫生实验室流感病原监测周分布

本周报告因流感死亡病例占总死亡病例的 0.9%。

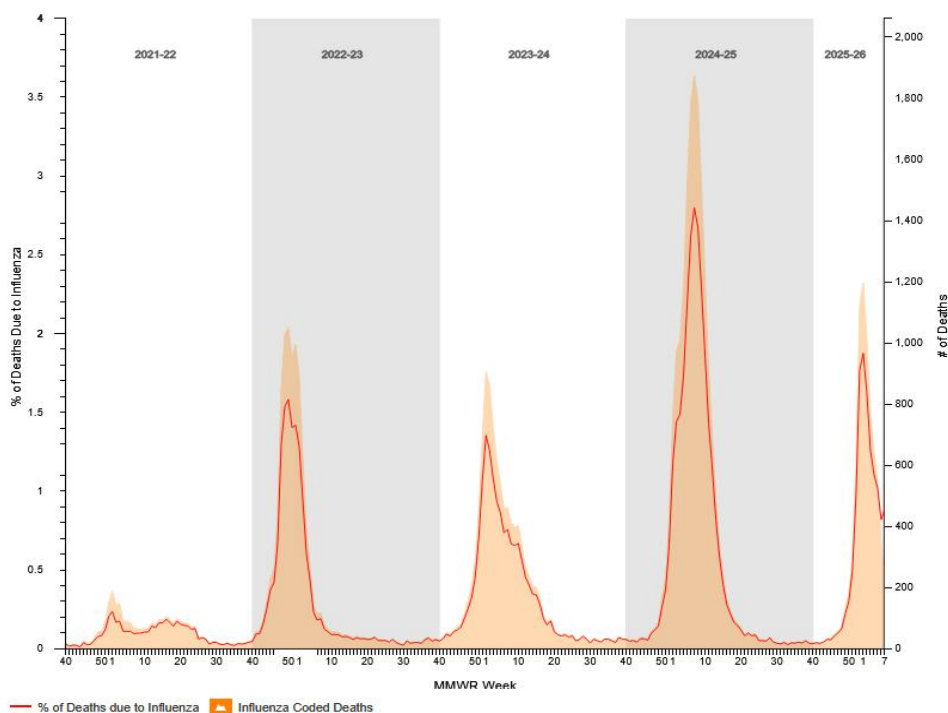


图 14 美国流感死亡监测

(译自: <https://www.cdc.gov/fluview/index.html>)



中国香港（第 8 周，2026 年 2 月 15-21 日）

监测数据显示，本地流感活跃程度处于低水平，但有上升迹象，不排除流感活跃度进一步上升。本周香港定点普通科诊所呈报的 ILI 平均比例是 7.9%，高于上周的 5.4%。

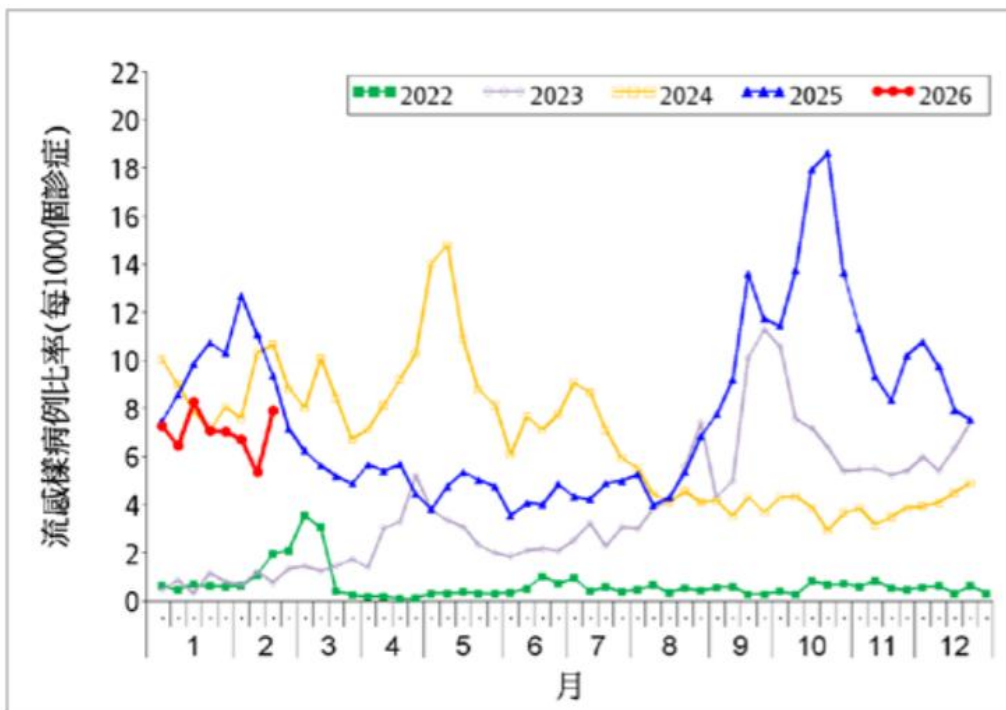


图 15 香港定点普通科诊所 ILI 监测周分布

本周香港定点私家医生所报告的 ILI 平均比例为 33.8%，高于上周的 22.4%。

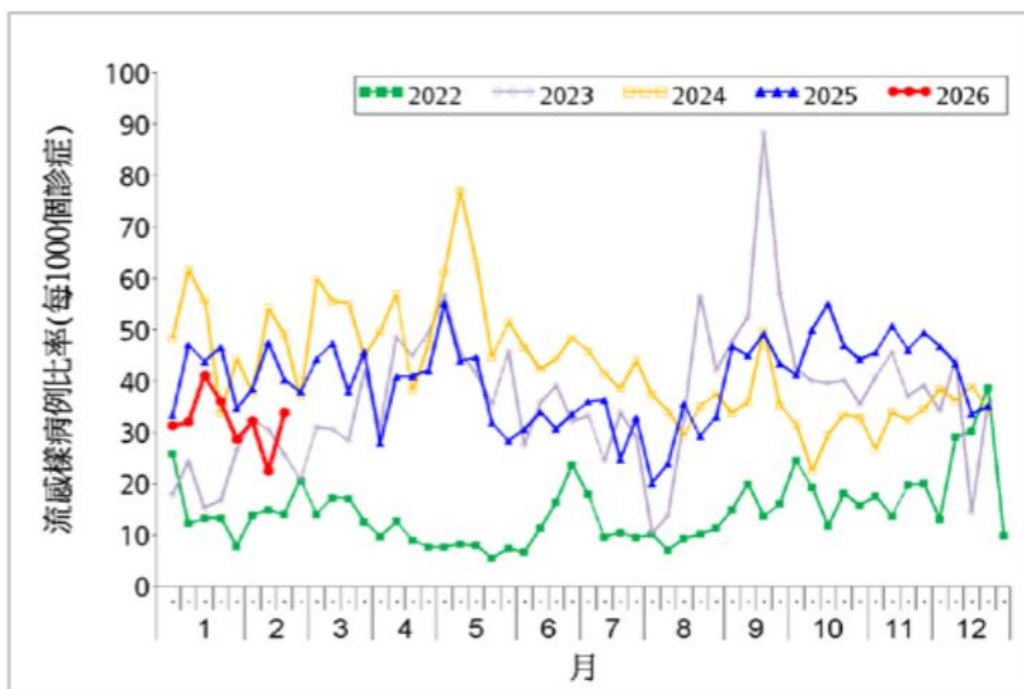


图 16 香港定点私家医生 ILI 监测周分布

本周收集到 8724 份呼吸道样本，检出 200 份 (2.29%) 流感阳性样本，已分型的流感阳性样本包括 16 份 (8%) A(H1N1)pdm09、139 份 (71%) A(H3N2)和 42 份 (21%) B 型流感。本周流感病毒阳性率低于 4.94%的基线水平，高于前一周的 1.96%。

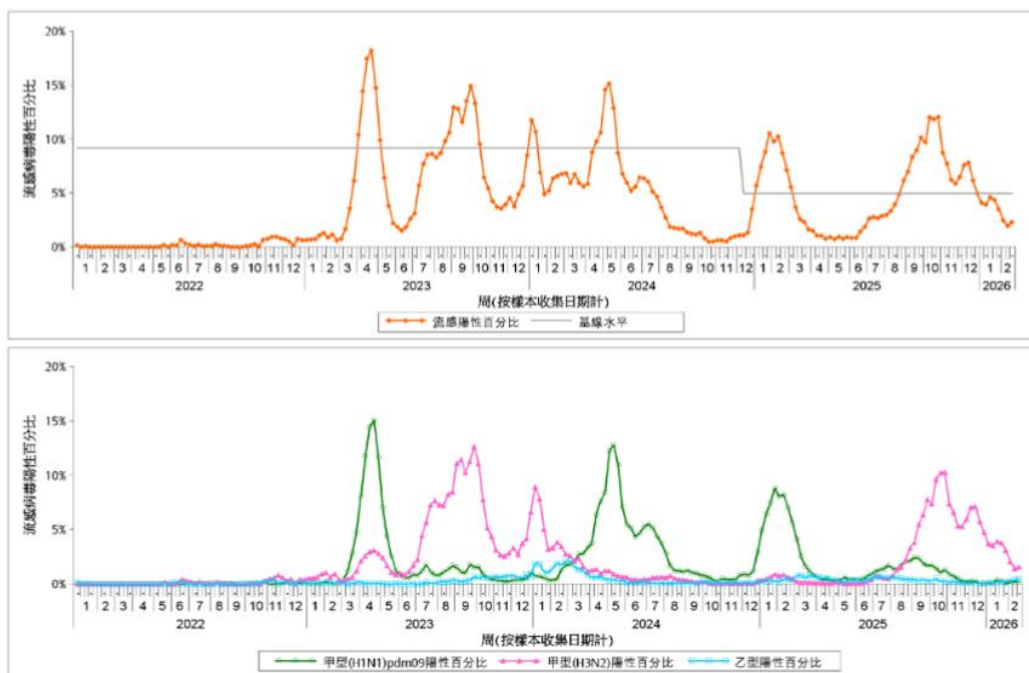


图 17 香港流感病原监测周分布（上图为整体阳性率；下图为流感病毒分型阳性率）

本周无在学校/院舍发生的流感样疾病暴发的报告，对比上周 15 起在学校/院舍发生的流感样疾病暴发的报告（共影响 99 人）。第 9 周的前四天无在学校/院舍发生的流感样疾病暴发的报告。

整体公立医院主要诊断为流感的入院率为 0.09（该年龄组别每 1 万人口计），对比前一周的 0.14，低于 0.27 的基线水平。0-5 岁、6-11 岁、12-17 岁、18-49 岁、50-64 岁和 65 岁及以上人士在公立医院主要诊断为流感的入院率分别为 0.50、0.22、0.30、0.08、0.04 和 0.23 例（该年龄组别每 1 万人口计），对比前一周的 0.32、0.32、0.35、0.03、0.03 和 0.19 例。

（摘自：<https://www.chp.gov.hk/tc/resources/29/100148.html>）



中国台湾（第 6-7 周，2026 年 2 月 8-21 日）

类流感就诊人次于春节前呈波动持平，春节期间人潮交流频繁且聚会活动多，疫情传播风险持续，仍需留意春节后疫情变化及重症病例发生风险；社区流感病毒以 A(H3N2) 为主。

近期门急诊就诊人次春节前呈波动持平，第 7 周（春节）因多数门诊休诊，就诊人次下降。

近四周实验室监测显示，社区呼吸道病原体以流感病毒居多。流感病毒以 A(H3N2) 为多，其次为 B 型及 A(H1N1)pdm09，近期 B 型占比持续上升。

本流感季（自 2025 年 10 月 1 日起）累计 545 例流感并发重症病例，其中 105 例死亡。

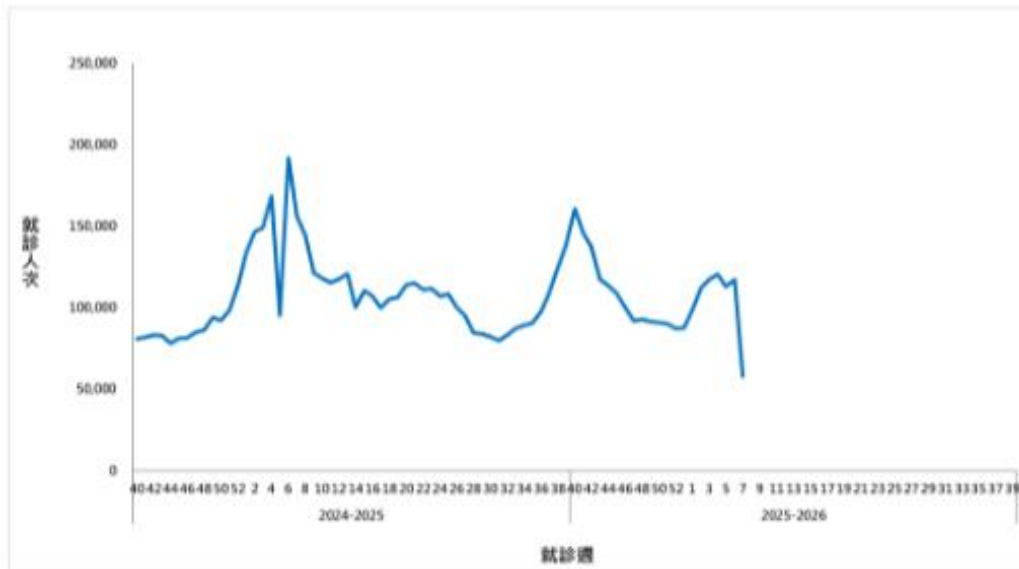


图 18 台湾省门诊及急诊流感样病例就诊人次



中国疾病预防控制中心病毒病预防控制所编制

地 址：北京市昌平区昌百路 155 号病毒病所

邮 编：102206

电 话：010 — 58900863

传 真：010 — 58900863

电子邮箱：fluchina@ivdc.chinacdc.cn

编 辑：中国疾病预防控制中心病毒病预防控制所国家流感中心

编发日期：2026 年 3 月 3 日

下 载：中国国家流感中心网站 (<http://ivdc.chinacdc.cn/cnic>) 或中国流感监测信息系统提供下载。